

# **Leçon N. 3 –** 4 Novembre 2025

# Alessandro MORBIDELLI

Chaire

Formation planétaire: de la Terre aux exoplanètes

Les inclusions refractaires





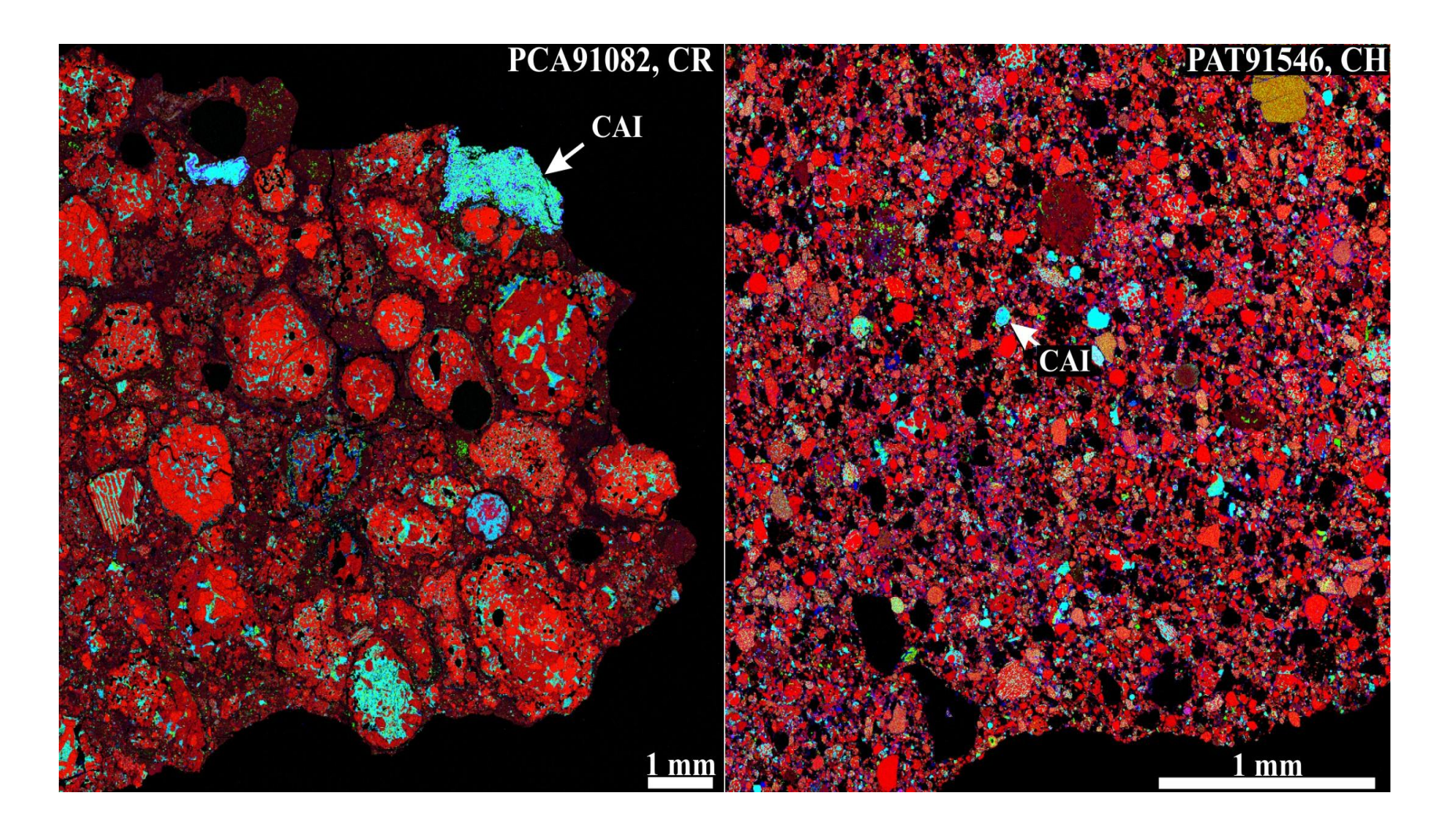
### Les inclusions riches en Calcium et Aluminium (CAIs)





#### Les inclusions riches en Calcium et Aluminium (CAIs)

- Composante mineure des chondrites carbonées: 0.1-15 vol%
- Tailles diverses: 10 μm au cm selon les chondrites

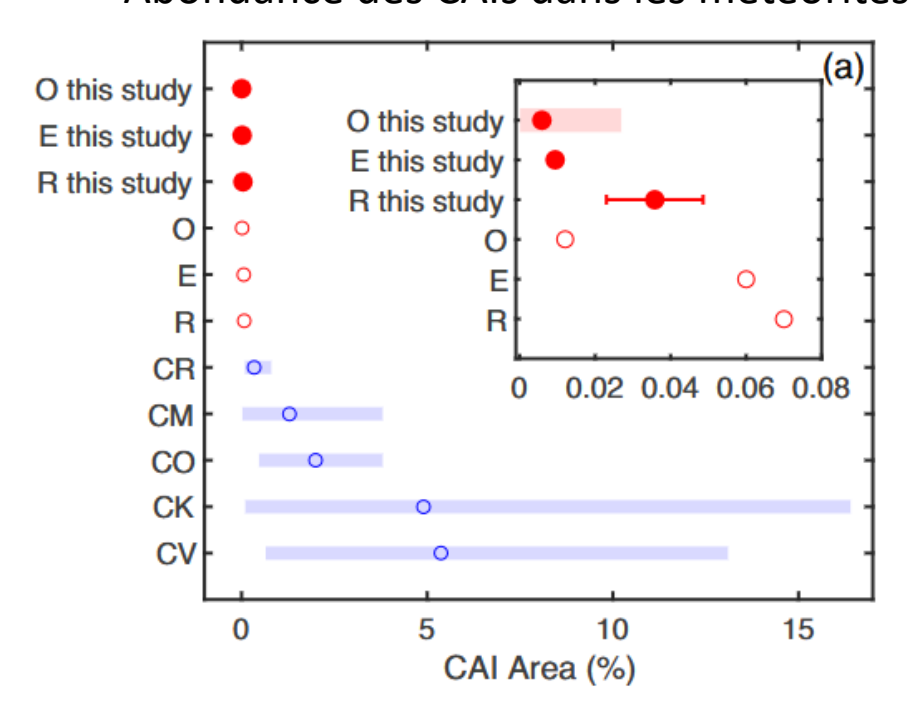




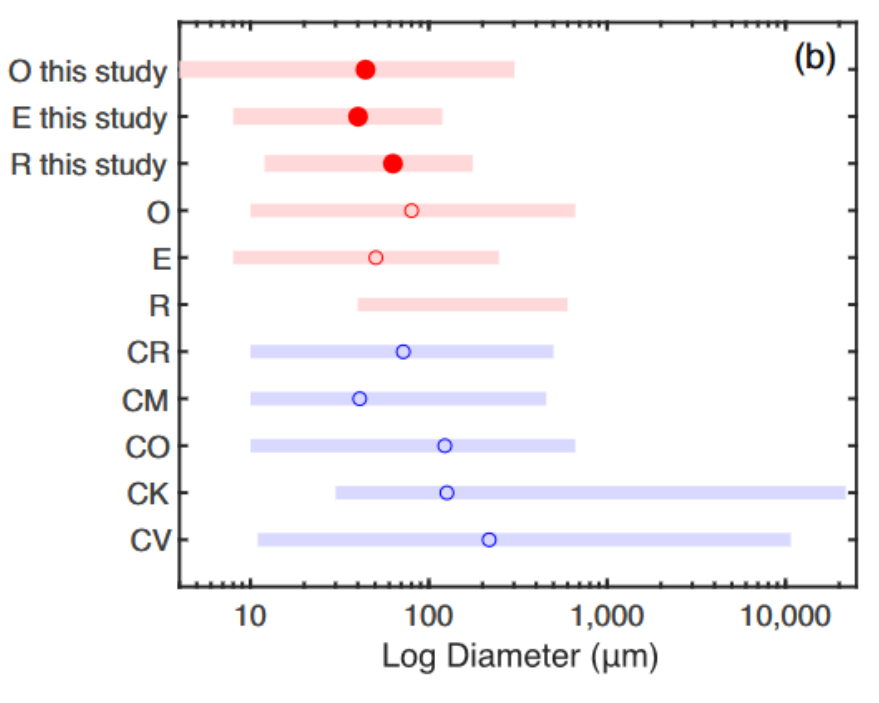
#### Les inclusions riches en Calcium et Aluminium (CAIs)

- Composante mineure des chondrites carbonées: 0.1-15 vol%
- Tailles diverses: 10 μm au cm selon les chondrites

#### Abondance des CAIs dans les météorites

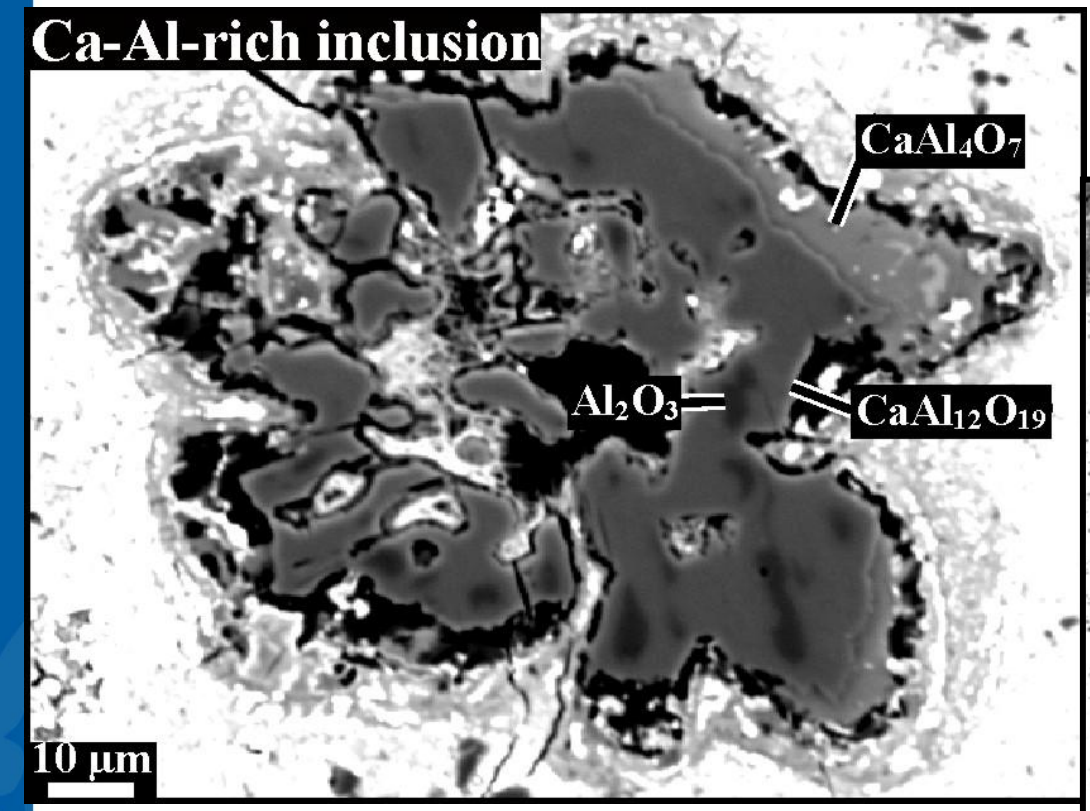


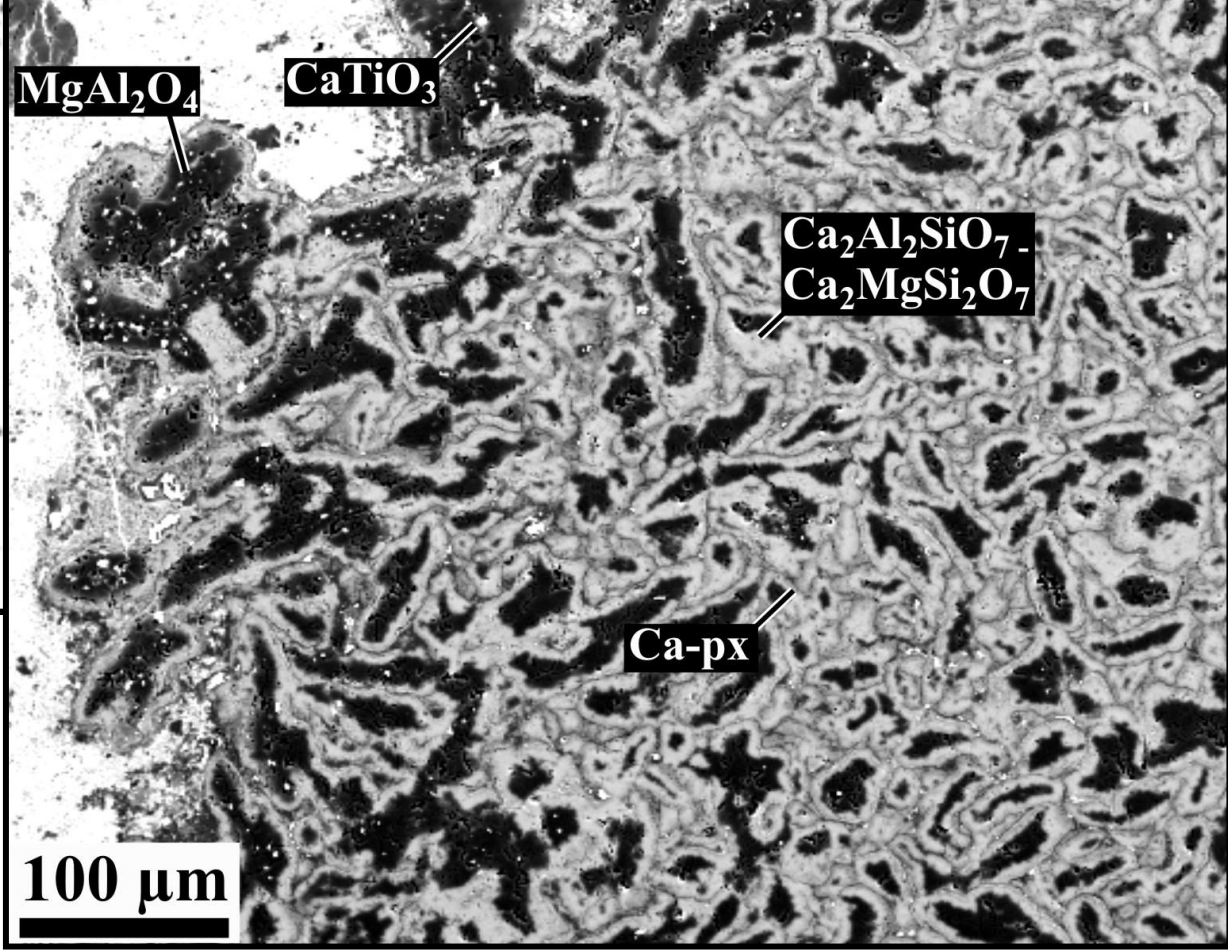
#### Tailles des CAIs dans les météorites





### Minéralogie des CAIs



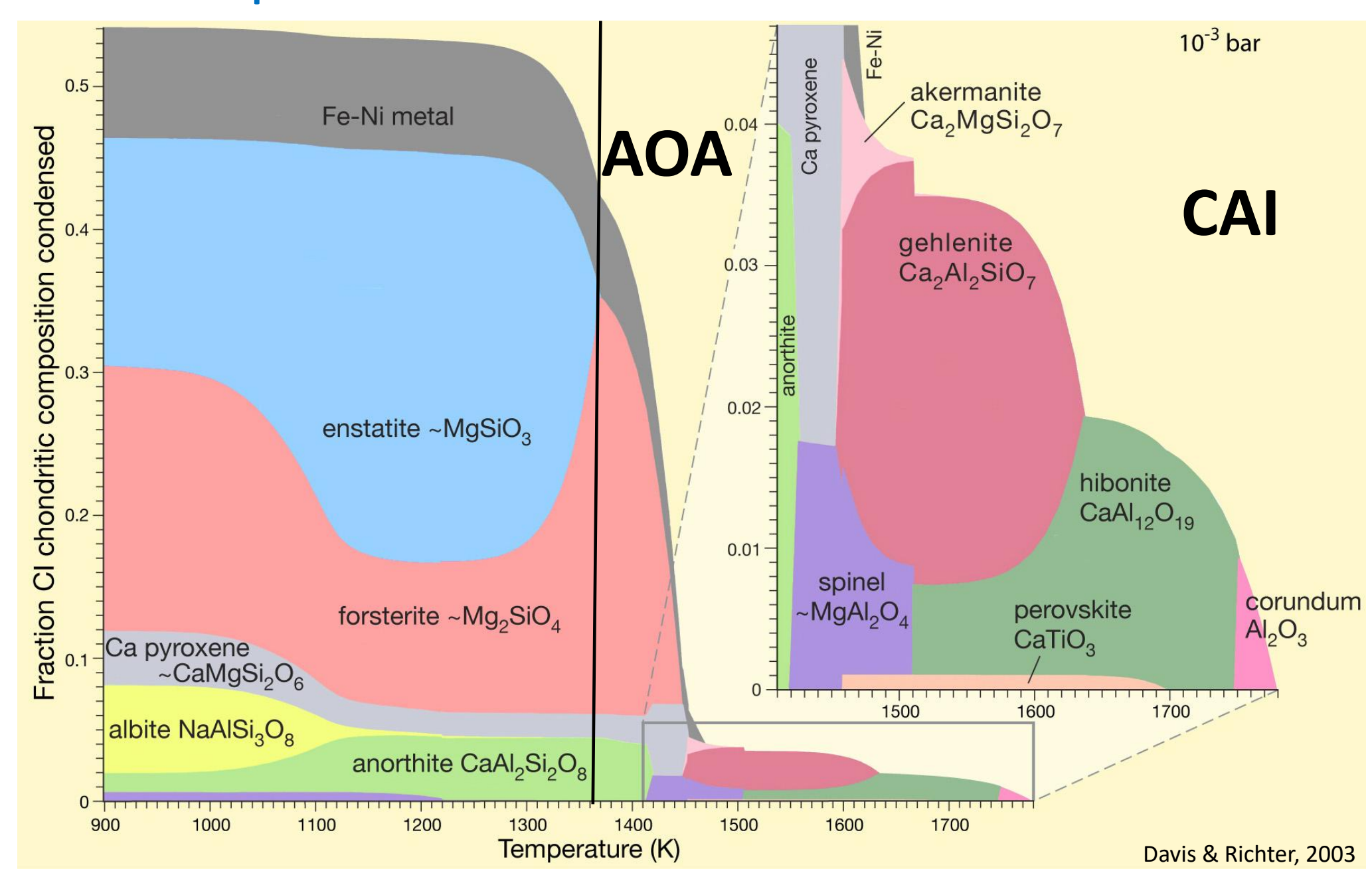


COLLÈGE
DE FRANCE
1530



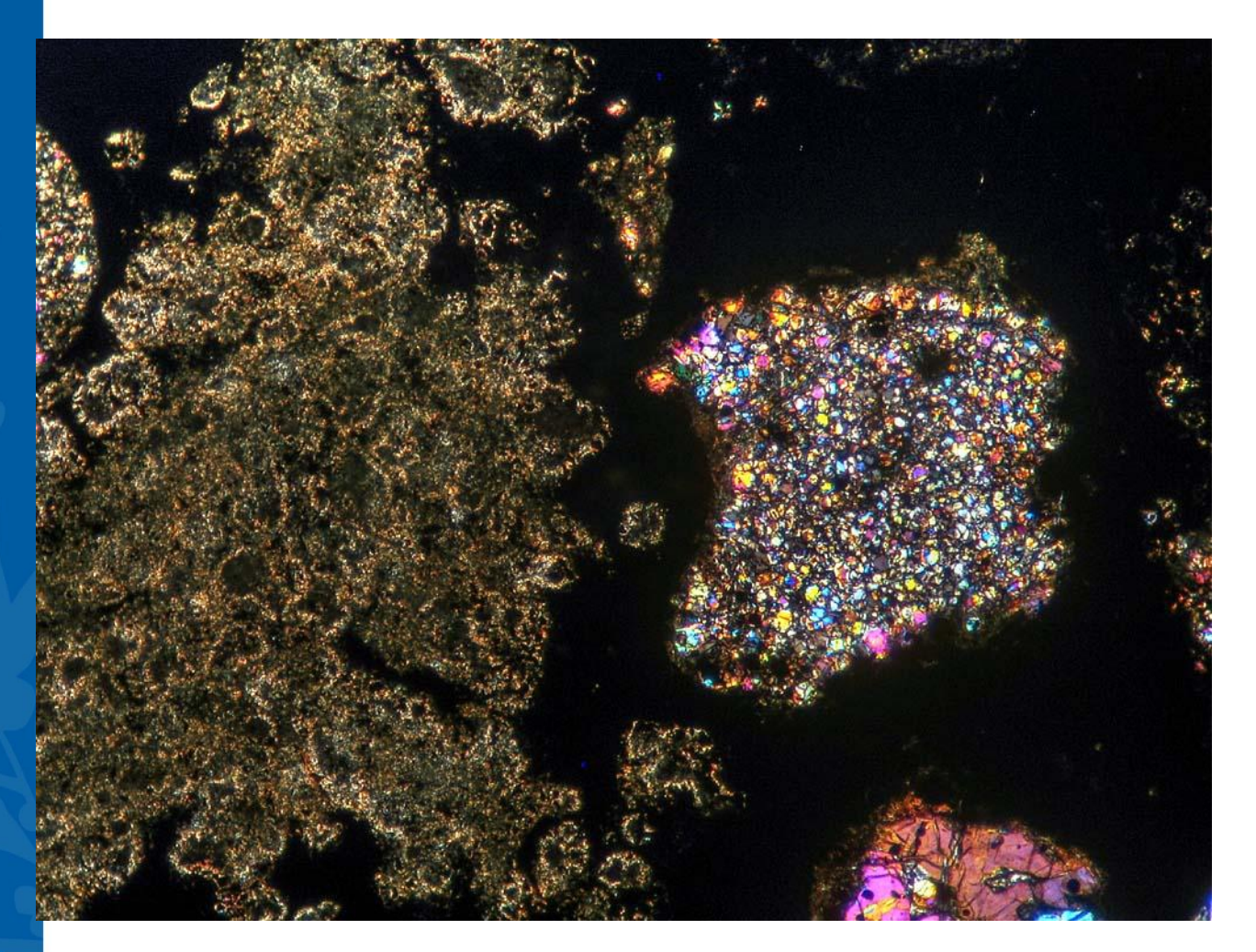
COLLÈGE DE FRANCE

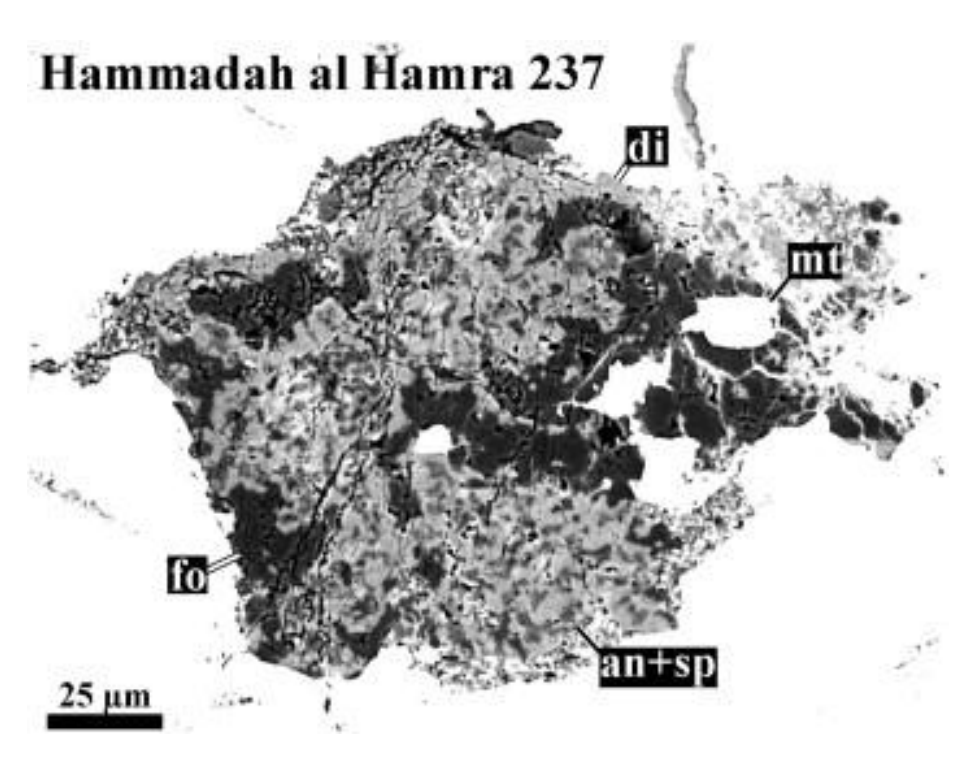
#### La séquence de condensation – condensation fractionnée





## Les agrégats d'olivine en forme d'amiboïde (AOA)





Krot et al., 2004

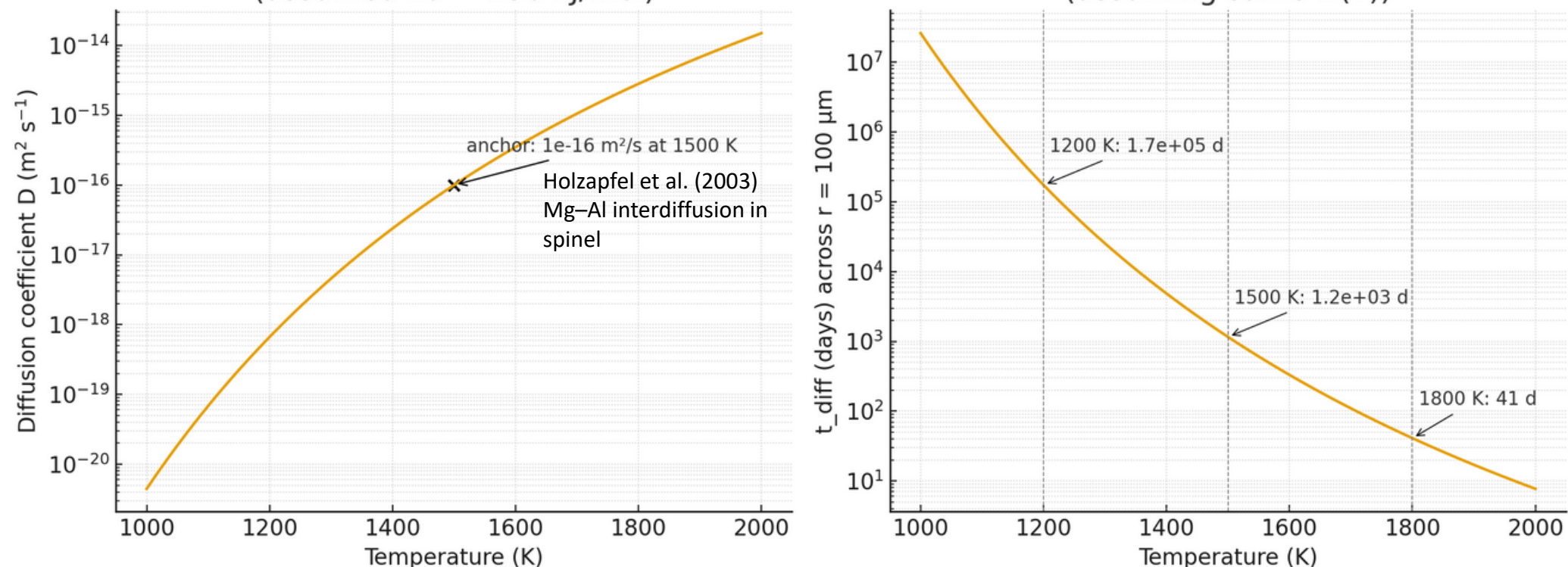


#### Sortie de la séquence de condensation (fractionnement)

Pour qu'un grain reste en équilibre avec le gaz, le temps de diffusion à l'intérieur du solide (nécessaire pour homogénéiser la composition) doit être plus rapide que le temps de refroidissement

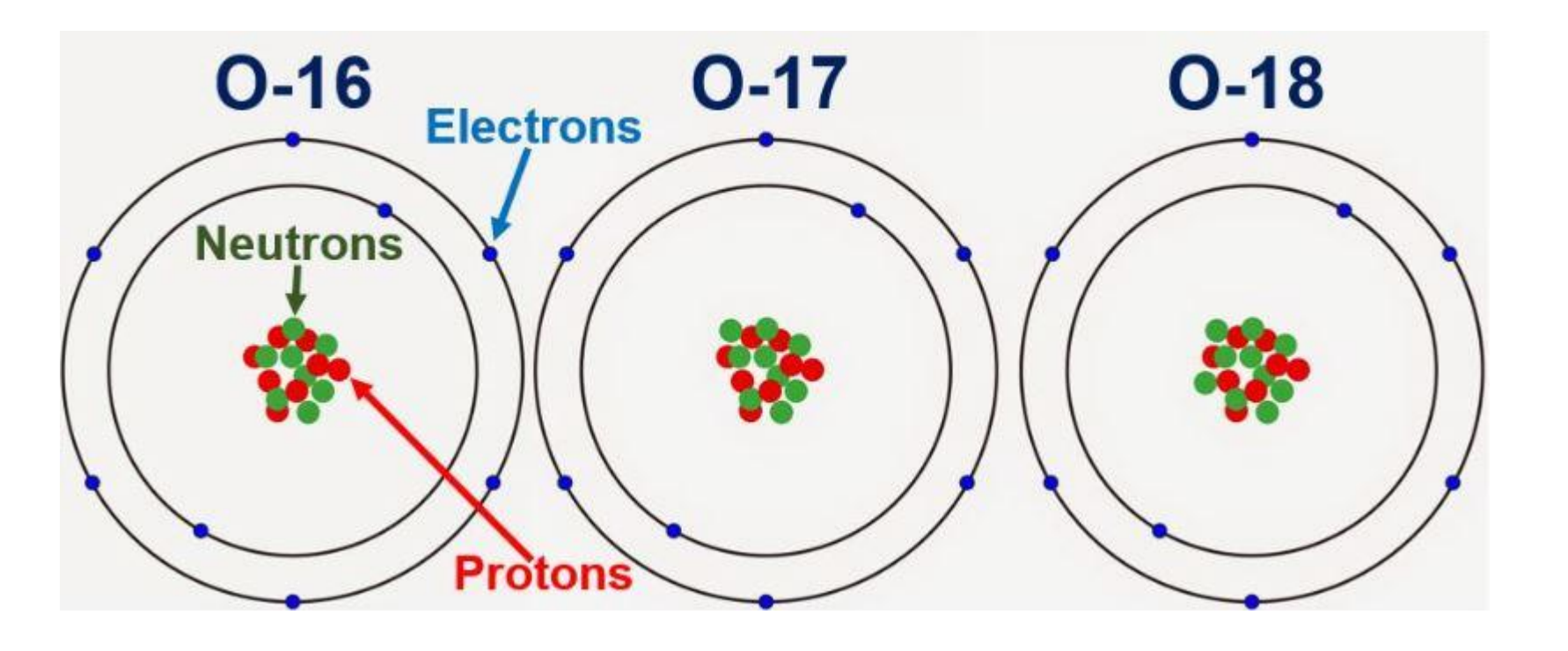
$$t_{diff} \sim rac{r^2}{D}$$
  $D(T) = D_0 \exp\!\left(-rac{E_a}{RT}
ight)$  (Loi d'Arrhenius)

Arrhenius D(T) — anchored to D(1500K)=1e-16 m^2/s Characteristic diffusion times across 100  $\mu$ m (assumed Ea = 250 kJ/mol) (assuming same D(T))





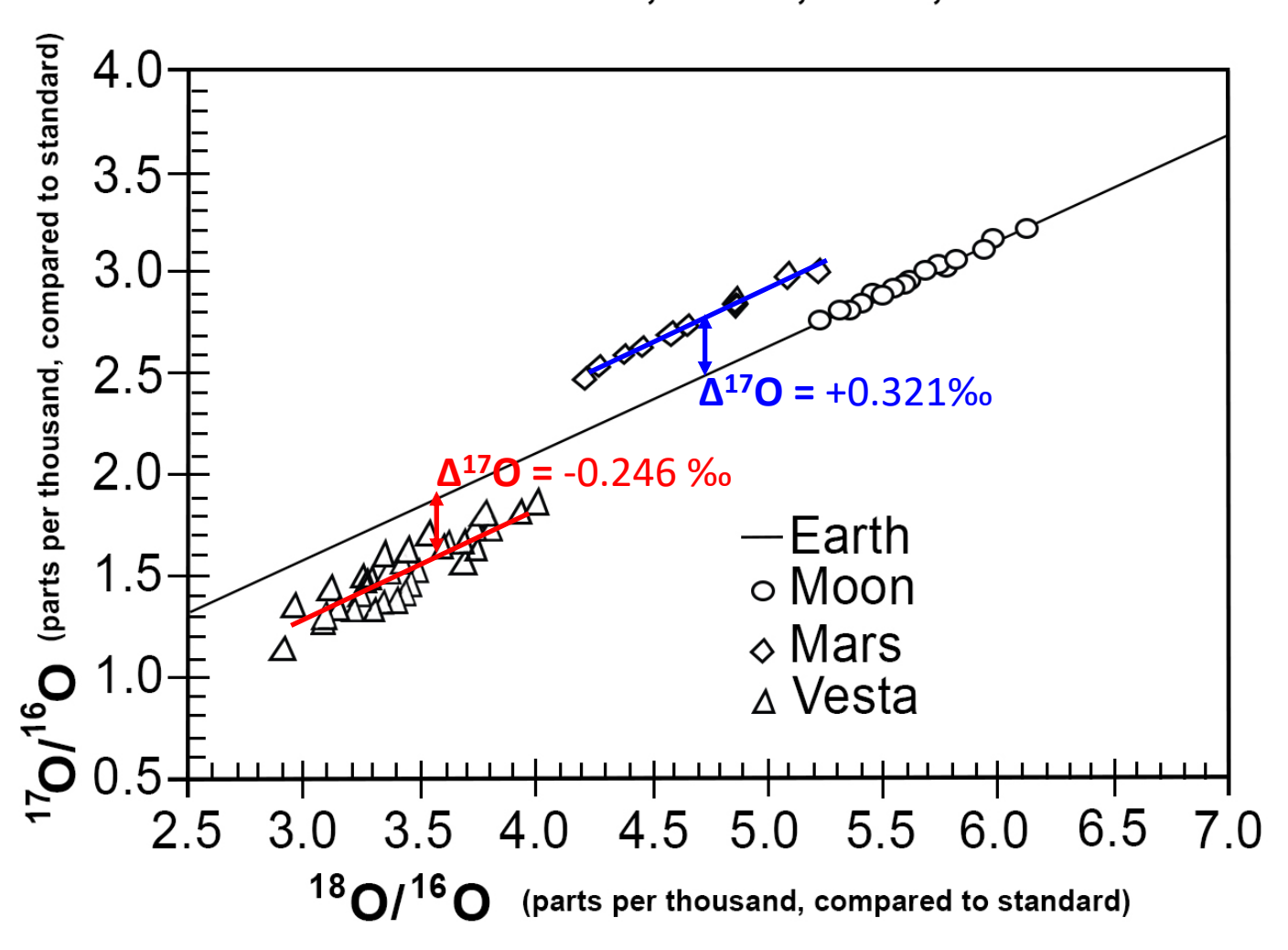
# Condensation des CAIs à partir d'un gaz solaire: Contrainte par les isotopes de l'oxygène





#### Fractionnement dépendant de la masse

# Oxygen Isotope Ratios in Rocks from Earth, Moon, Mars, and Vesta

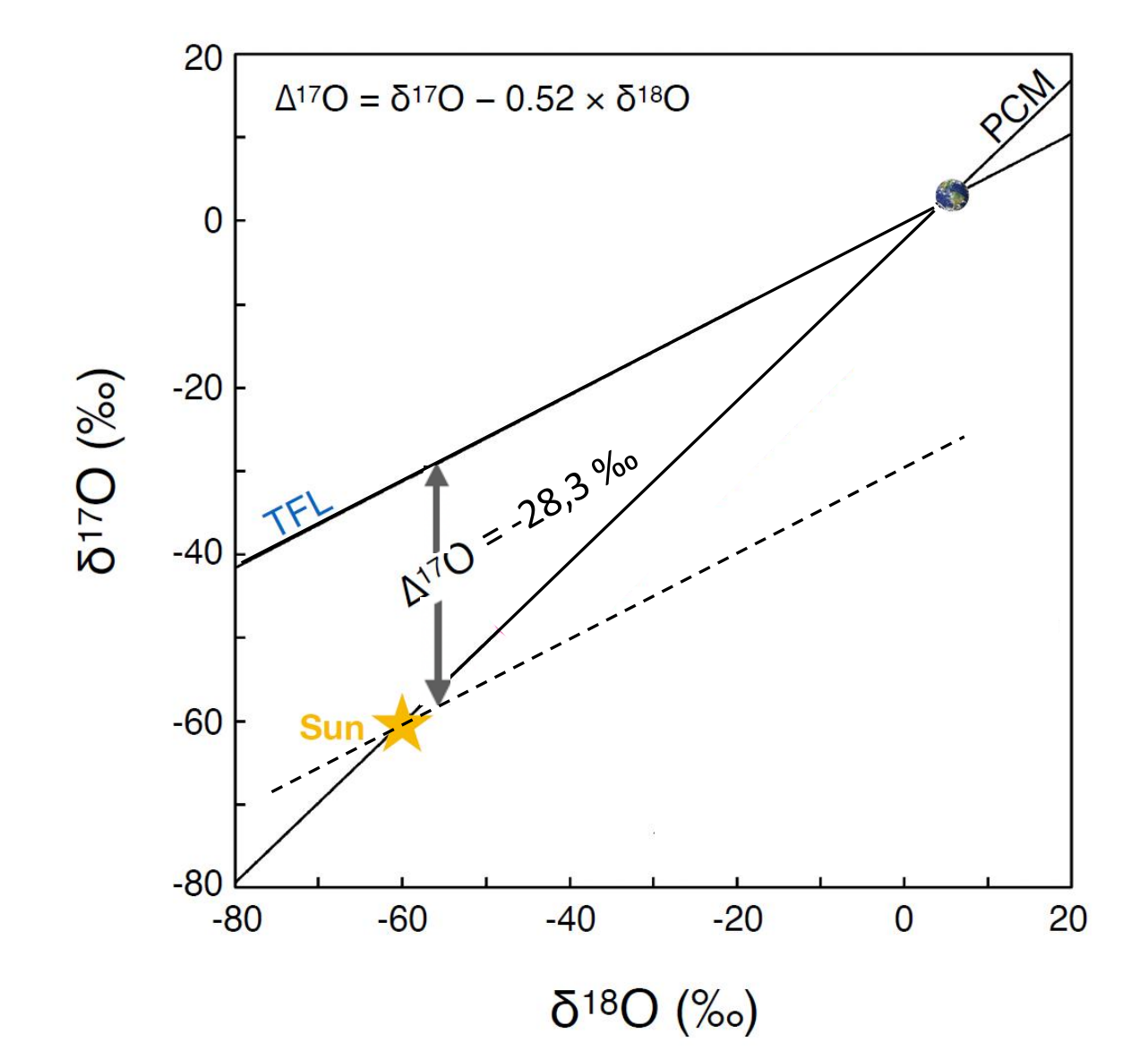






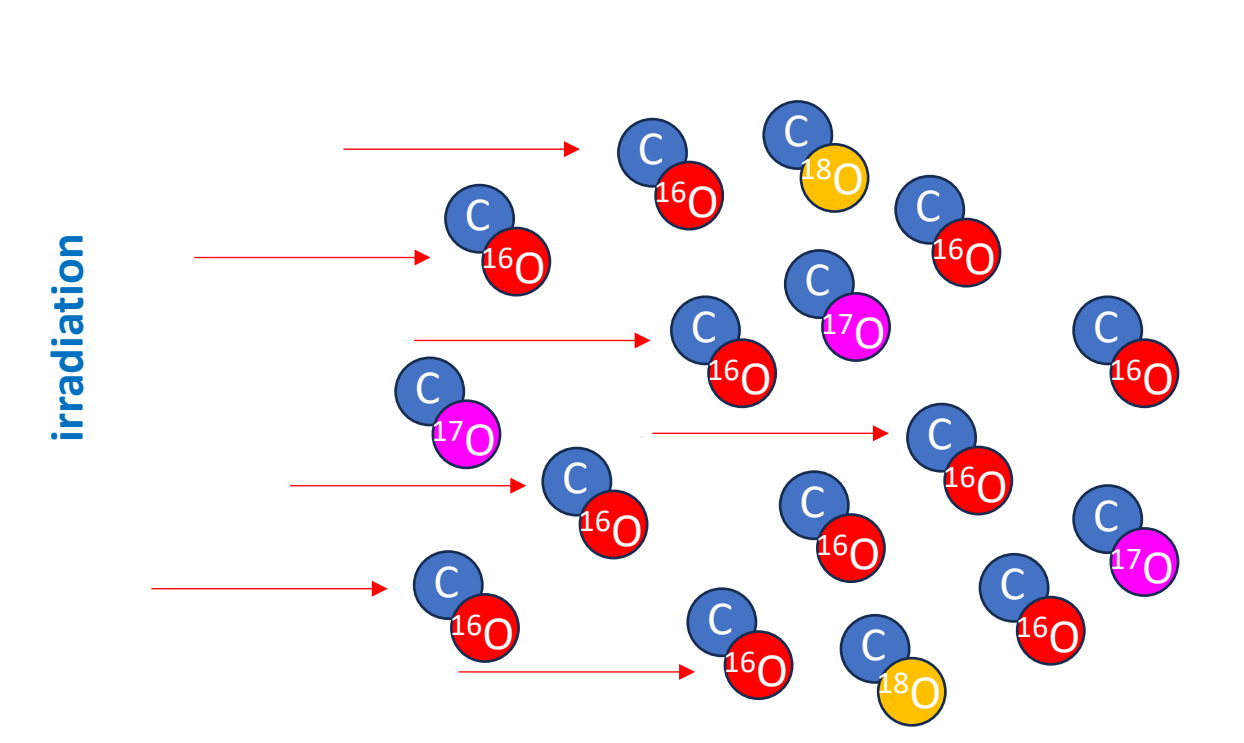
#### Fractionnement indépendant de la masse

$$\delta^{17,18}O = \left[\frac{\left(\frac{17,18}{16}O\right)_{\text{Sample}}}{\left(\frac{17,18}{16}O\right)_{\text{SMOW}}} - 1\right] \times 10^{3}$$





## Origine du fractionnement indépendant de la masse: Auto-écrantage du CO



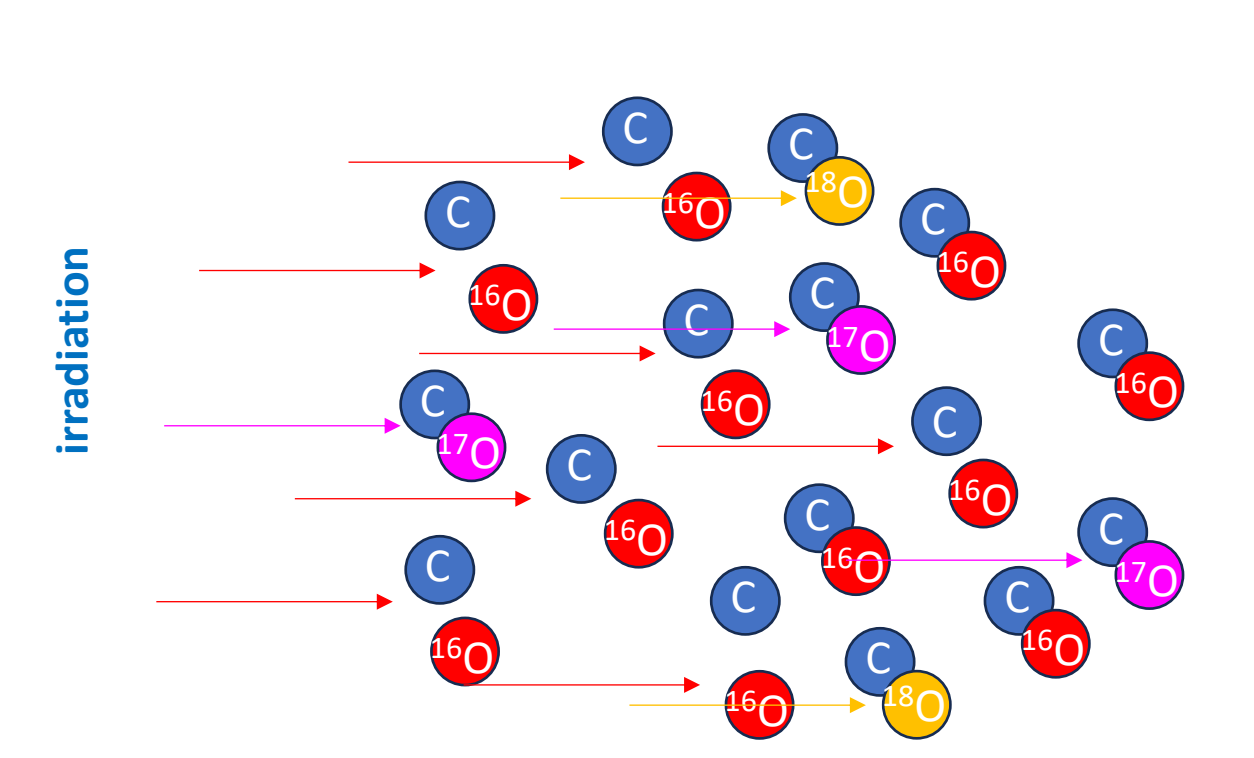
<sup>17</sup>O/<sup>16</sup>O=3/11

<sup>18</sup>O/<sup>16</sup>O=2/11

<sup>17</sup>O/<sup>18</sup>O=3/2



# Origine du fractionnement indépendant de la masse: Auto-écrantage du CO



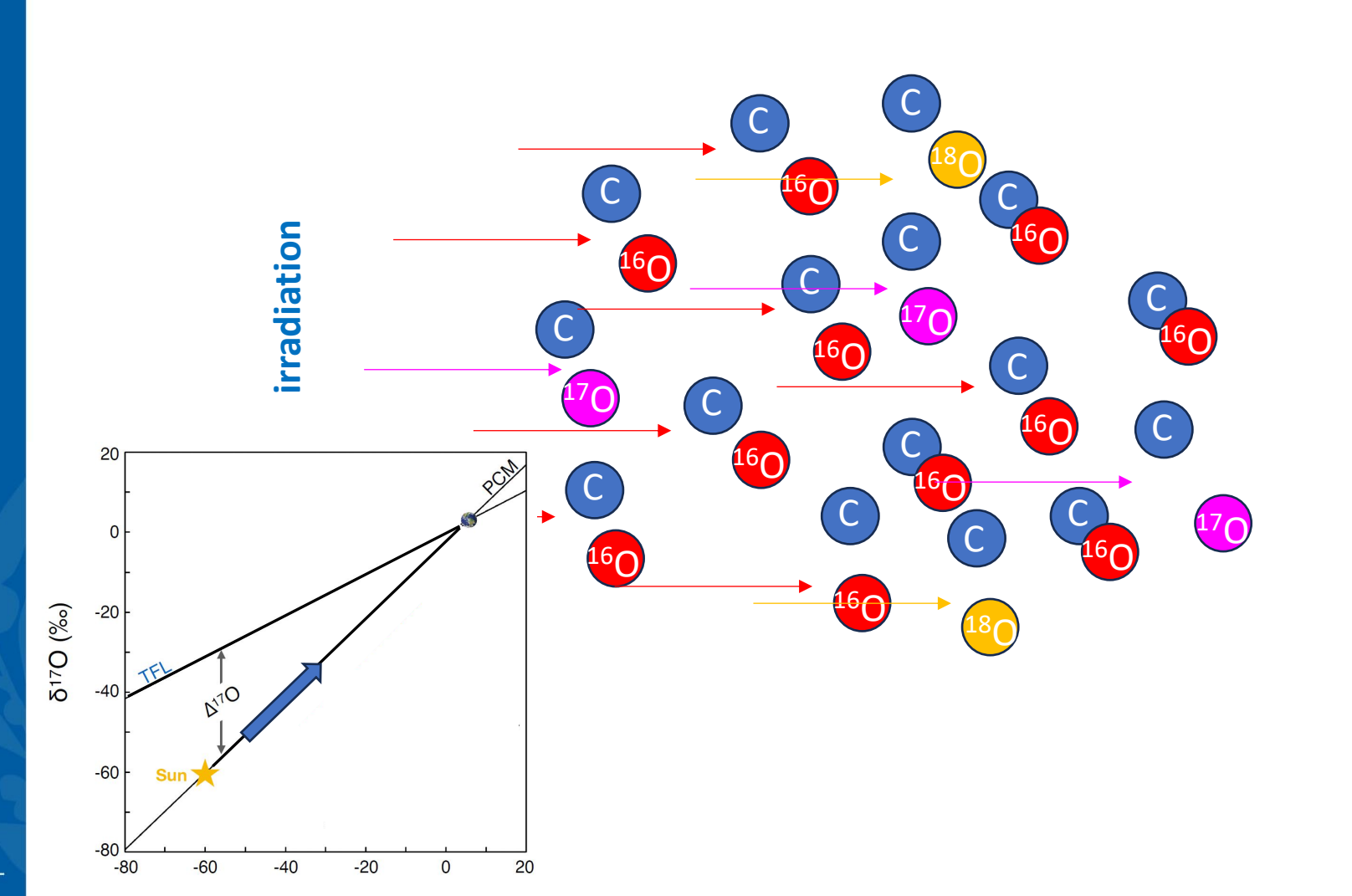
<sup>17</sup>O/<sup>16</sup>O=3/11

<sup>18</sup>O/<sup>16</sup>O=2/11

<sup>17</sup>O/<sup>18</sup>O=3/2



## Origine du fractionnement indépendant de la masse: Auto-écrantage du CO



<sup>17</sup>O/<sup>16</sup>O=3/11

<sup>18</sup>O/<sup>16</sup>O=2/11

 $^{17}O/^{18}O=3/2$ 

Dissociated:

 $^{17}O/^{16}O=3/7$ 

 $^{18}O/^{16}O=2/7$ 

<sup>17</sup>O/<sup>18</sup>O=3/2

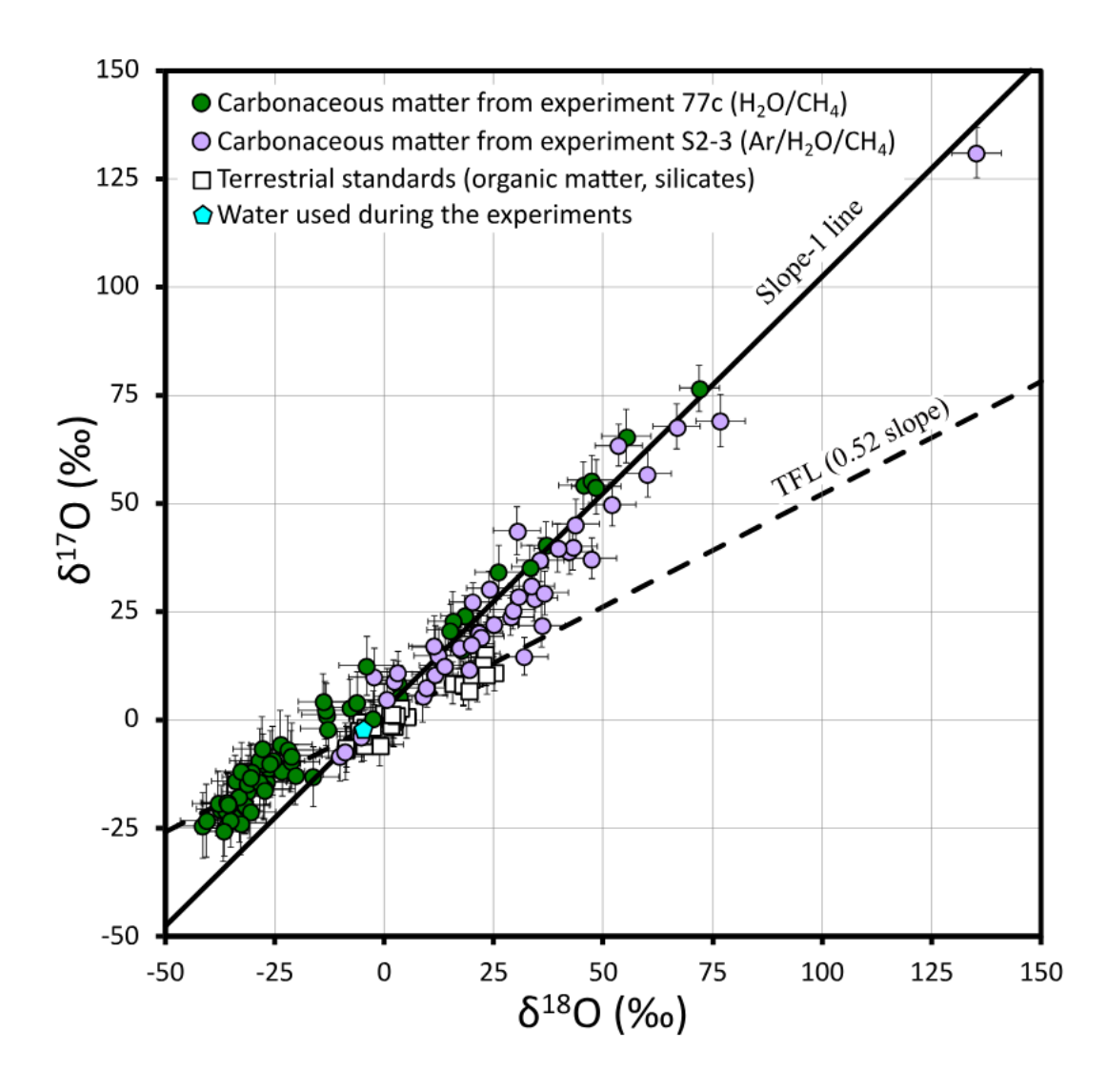
COLLÈGE DE FRANCE

 $\delta^{18}O$  (%)

Lyons et Young, 2005

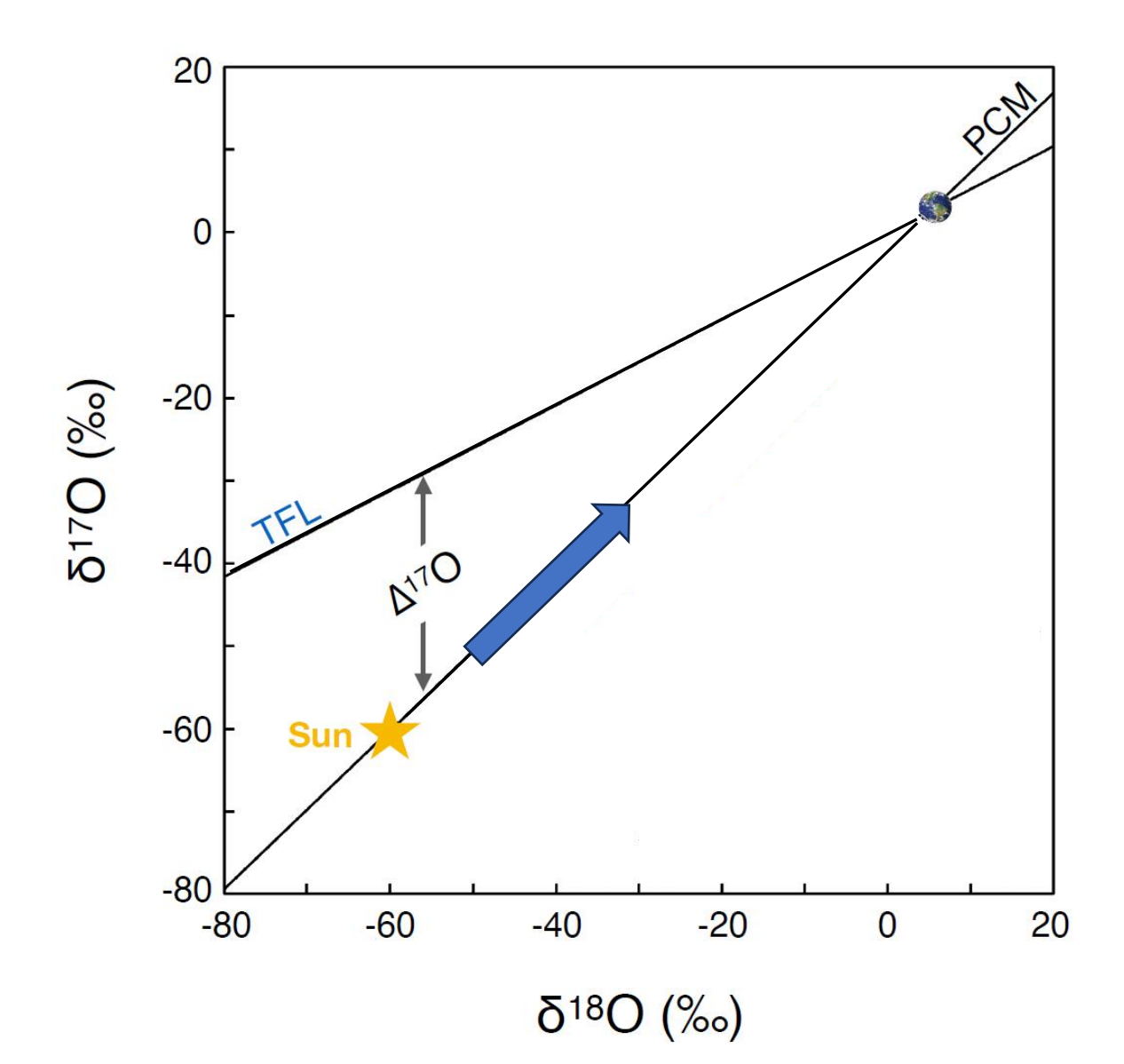


# Origine du fractionnement indépendant de la masse: Condensation à partir d'un plasma



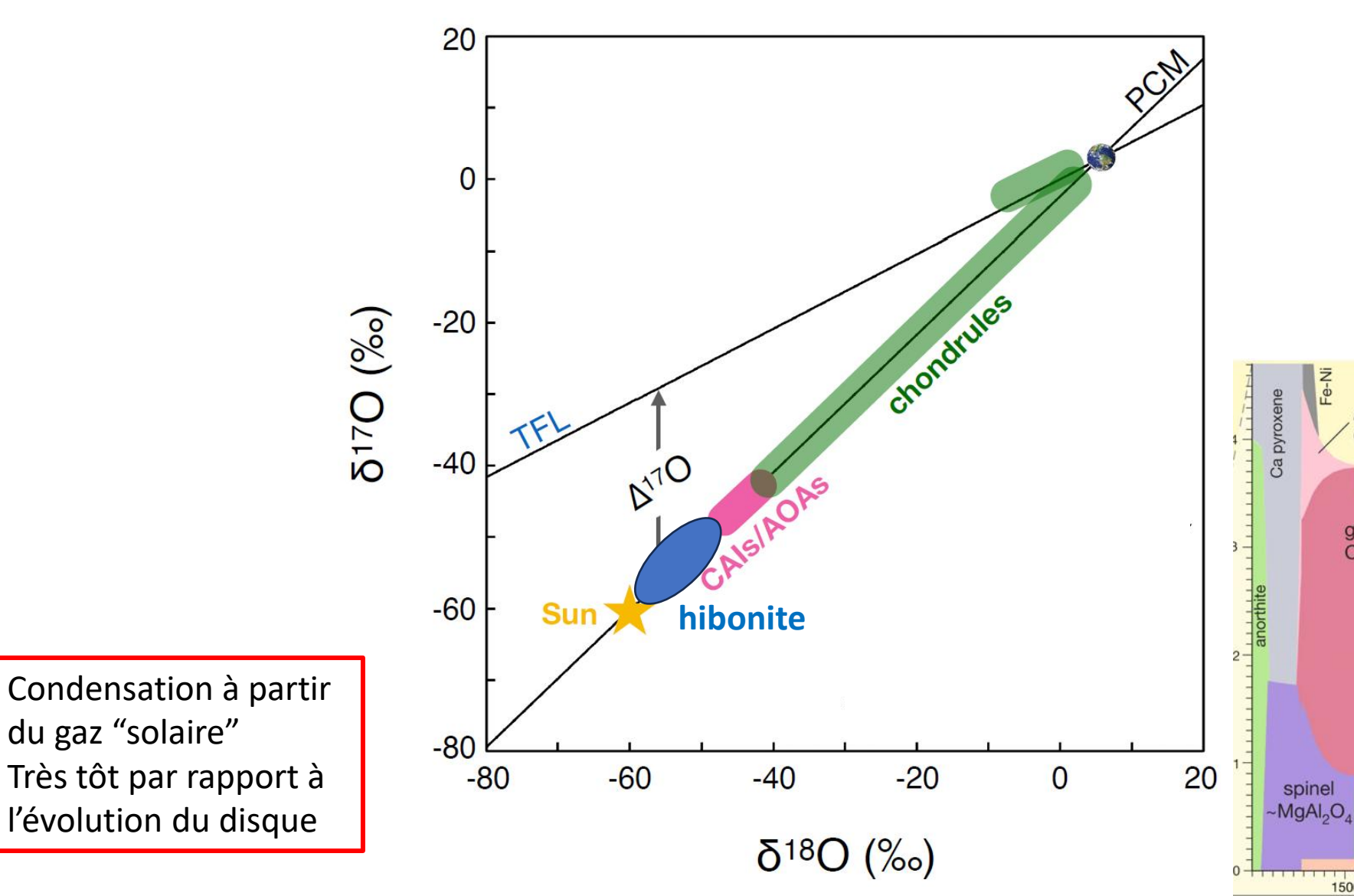


## Evolution du Δ<sup>17</sup>O





#### CAIs et AOAs témoins du gaz primordial



10<sup>-3</sup> bar

CAI

corundum

Al<sub>2</sub>O<sub>3</sub>

hibonite

perovskite

CaTiO<sub>3</sub>

1600

1500

CaAl, O19

1700

akermanite Ca<sub>2</sub>MgSi<sub>2</sub>O<sub>7</sub>

gehlenite Ca,Al,SiO,

COLLÈGE DE FRANCE du gaz "solaire"



#### Les âges des CAIs: datation Pb-Pb

<sup>238</sup>U décroît en <sup>206</sup>Pb avec une demi-vie de 4,468 milliards d'années <sup>235</sup>U décroît en <sup>207</sup>Pb avec une demi-vie de 703,8 millions d'années







U <sub>Pb</sub> Pb Pb Pb U

temps

$$egin{aligned} \left(rac{207 ext{Pb}}{204 ext{Pb}}
ight)_P &= \left(rac{207 ext{Pb}}{204 ext{Pb}}
ight)_I + \left(rac{235 ext{U}}{204 ext{Pb}}
ight)_P \left(e^{\lambda_{235}t}-1
ight) \ \left(rac{206 ext{Pb}}{204 ext{Pb}}
ight)_P &= \left(rac{206 ext{Pb}}{204 ext{Pb}}
ight)_I + \left(rac{238 ext{U}}{204 ext{Pb}}
ight)_P \left(e^{\lambda_{238}t}-1
ight) \end{aligned} \qquad \lambda = rac{\ln 2}{t_{1/2}}$$

Note: 204Pb n'est pas radiogénique



#### Les ages des CAIs: datation Pb-Pb

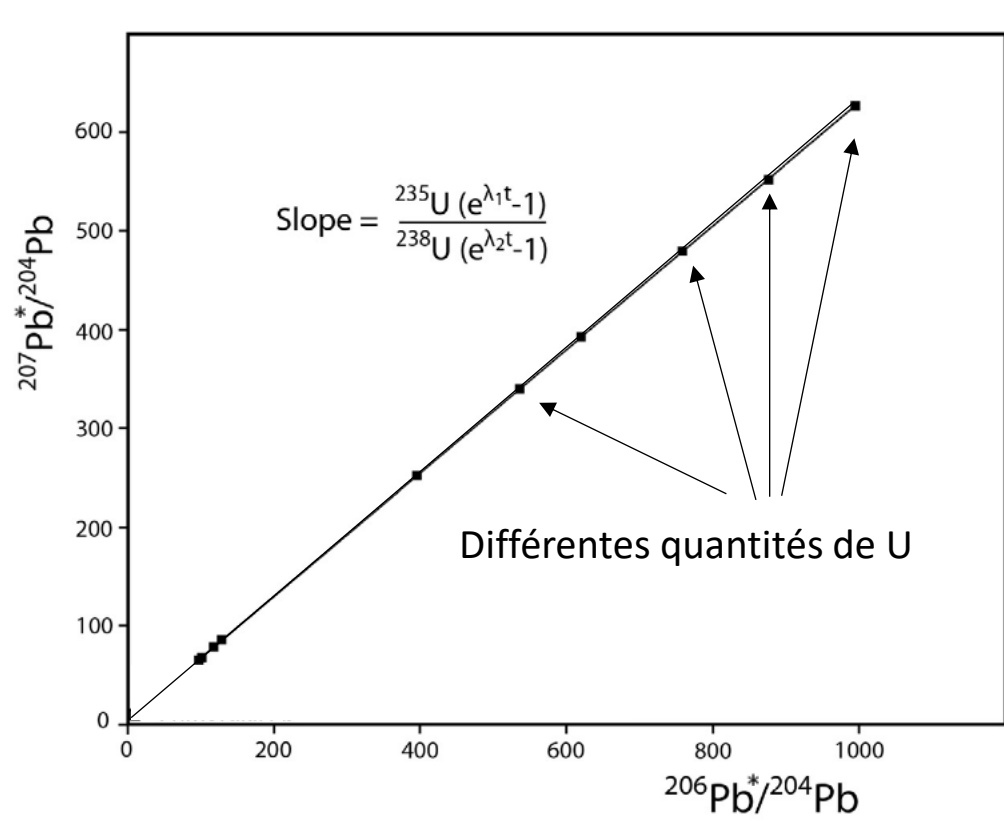
$$egin{split} \left(rac{207 ext{Pb}}{204 ext{Pb}}
ight)_P &= \left(rac{207 ext{Pb}}{204 ext{Pb}}
ight)_I + \left(rac{235 ext{U}}{204 ext{Pb}}
ight)_P \left(e^{\lambda_{235}t}-1
ight) \ \left(rac{206 ext{Pb}}{204 ext{Pb}}
ight)_P &= \left(rac{206 ext{Pb}}{204 ext{Pb}}
ight)_I + \left(rac{238 ext{U}}{204 ext{Pb}}
ight)_P \left(e^{\lambda_{238}t}-1
ight) \end{split}$$

#### Peut être réécrite comme:

$$\begin{bmatrix} \frac{207 \text{Pb}}{204 \text{Pb}} & -\frac{207 \text{Pb}}{204 \text{Pb}} \\ \frac{206 \text{Pb}}{204 \text{Pb}} & -\frac{206 \text{Pb}}{204 \text{Pb}} \\ \frac{206 \text{Pb}}{204 \text{Pb}} & -\frac{206 \text{Pb}}{204 \text{Pb}} \\ \end{bmatrix}_I = \left(\frac{1}{137.88}\right) \left(\frac{e^{\lambda_{235}t} - 1}{e^{\lambda_{238}t} - 1}\right)$$

où 
$$(^{235}U/^{238}U)_p=1/137.88$$

#### Si valeurs radiogéniques connues





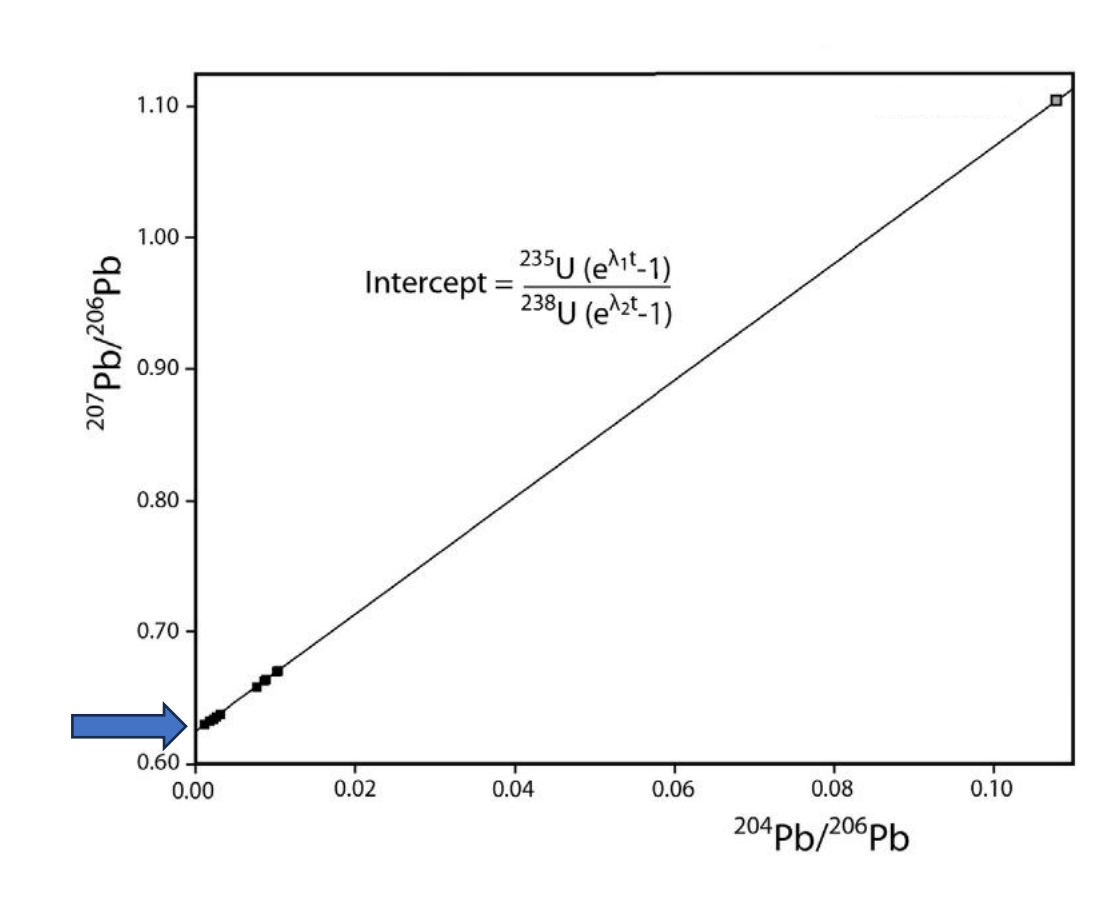
#### Les ages des CAIs: datation Pb-Pb

$$egin{split} \left(rac{207 ext{Pb}}{204 ext{Pb}}
ight)_P &= \left(rac{207 ext{Pb}}{204 ext{Pb}}
ight)_I + \left(rac{235 ext{U}}{204 ext{Pb}}
ight)_P \left(e^{\lambda_{235}t}-1
ight) \ \left(rac{206 ext{Pb}}{204 ext{Pb}}
ight)_P &= \left(rac{206 ext{Pb}}{204 ext{Pb}}
ight)_I + \left(rac{238 ext{U}}{204 ext{Pb}}
ight)_P \left(e^{\lambda_{238}t}-1
ight) \end{split}$$

$$Si(^{204}Pb)_P = (^{204}Pb)_I = 0 alors(^{206}Pb)_I = 0 et(^{207}Pb)_I = 0$$

Par conséquent:

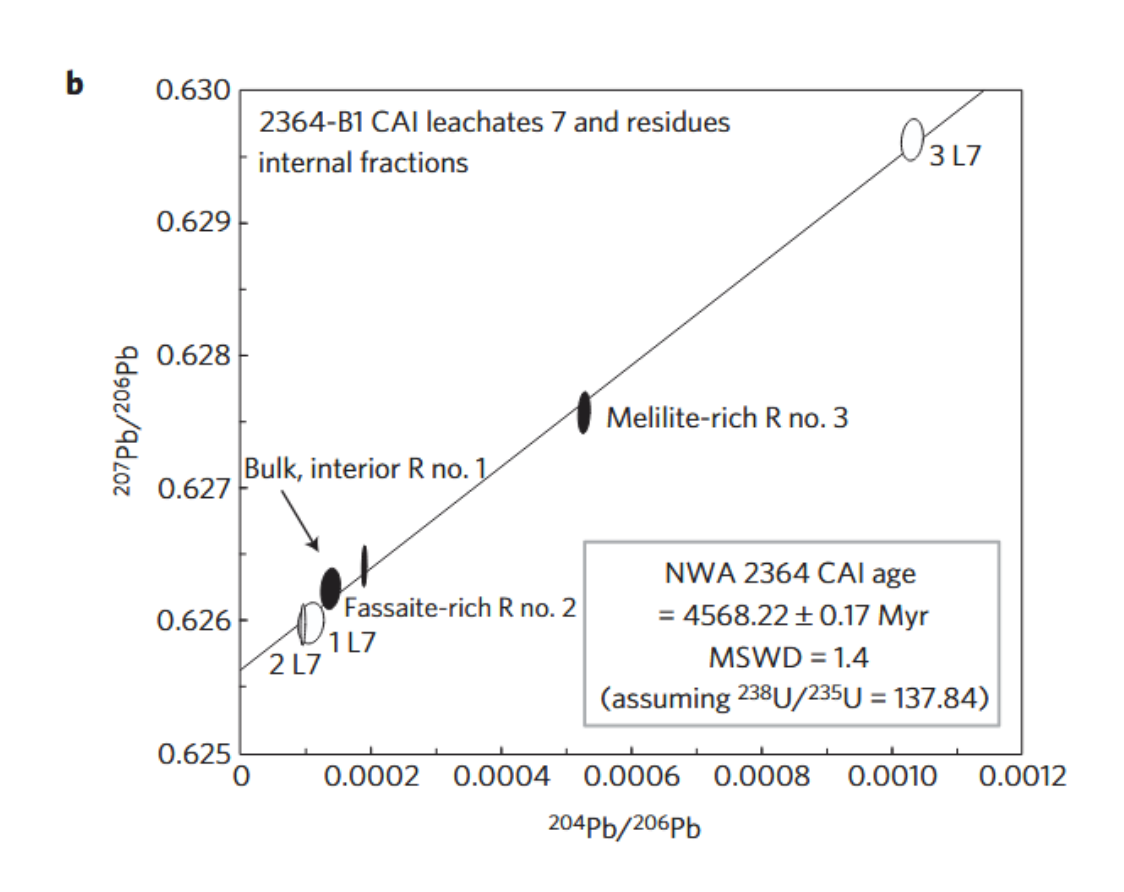
$$\left(rac{^{207} ext{Pb}}{^{206} ext{Pb}}
ight)_P = \left(rac{^{207} ext{Pb}^*}{^{206} ext{Pb}^*}
ight) = \left(rac{^{235} ext{U}}{^{238} ext{U}}
ight)_P \left(rac{e^{\lambda_{235}t}-1}{e^{\lambda_{238}t}-1}
ight)$$

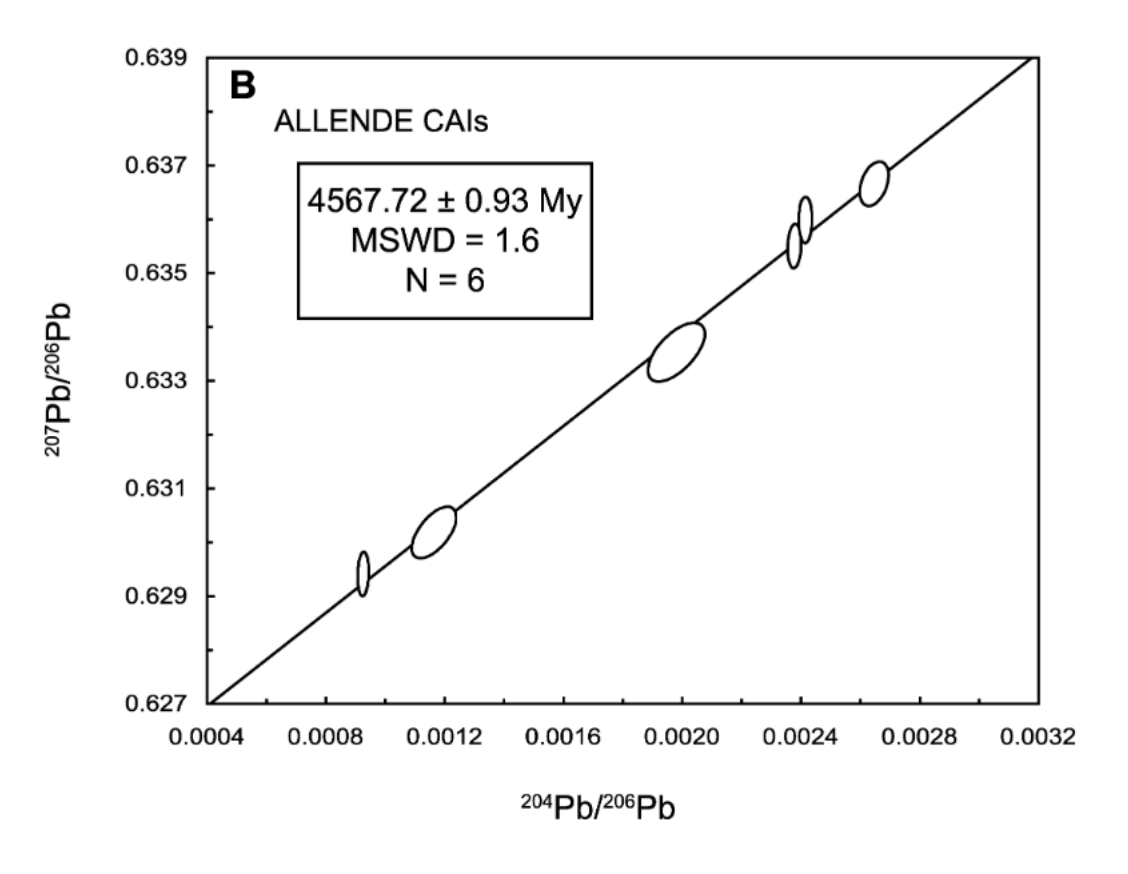




#### Les âges des CAIs: datation Pb-Pb

#### Les plus vieux solides du Système Solaire





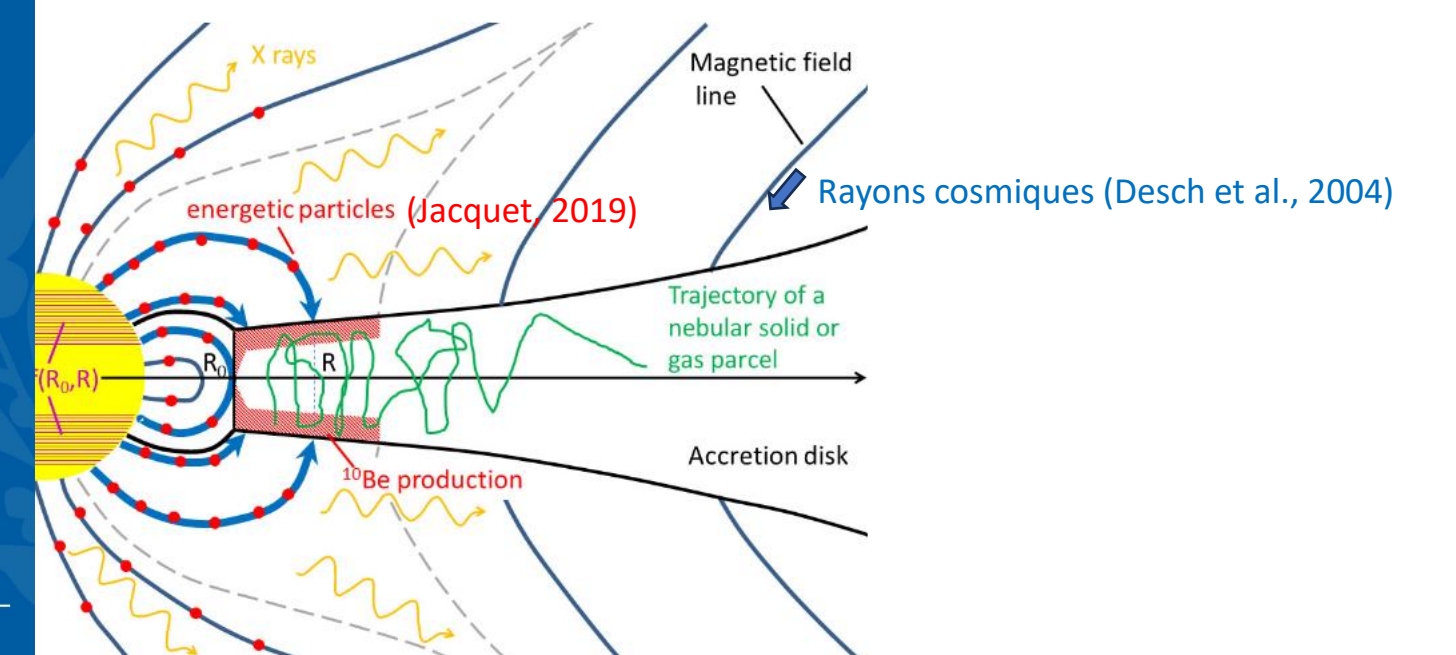


#### Lieu de formation des CAIs

La condensation depuis un gaz à très haute température suggère une formation près du Soleil Autres indications en ce sens viennent de l'existence de <sup>10</sup>Be et <sup>7</sup>Be dans les CAIs

Le **béryllium 10**, noté <sup>10</sup>Be, est l'isotope du béryllium dont le nombre de masse est égal à 10 : son noyau atomique compte 4 protons et 6 neutrons. Il est radioactif avec une demi-vie 1,39 Ma et conduit par désintégration β<sup>-</sup> au bore 10

Il n'est pas synthétisé par les étoiles mais il est produit par spallation par des particules énergétiques (e.g. protons) sur d'autres atomes (e.g N)

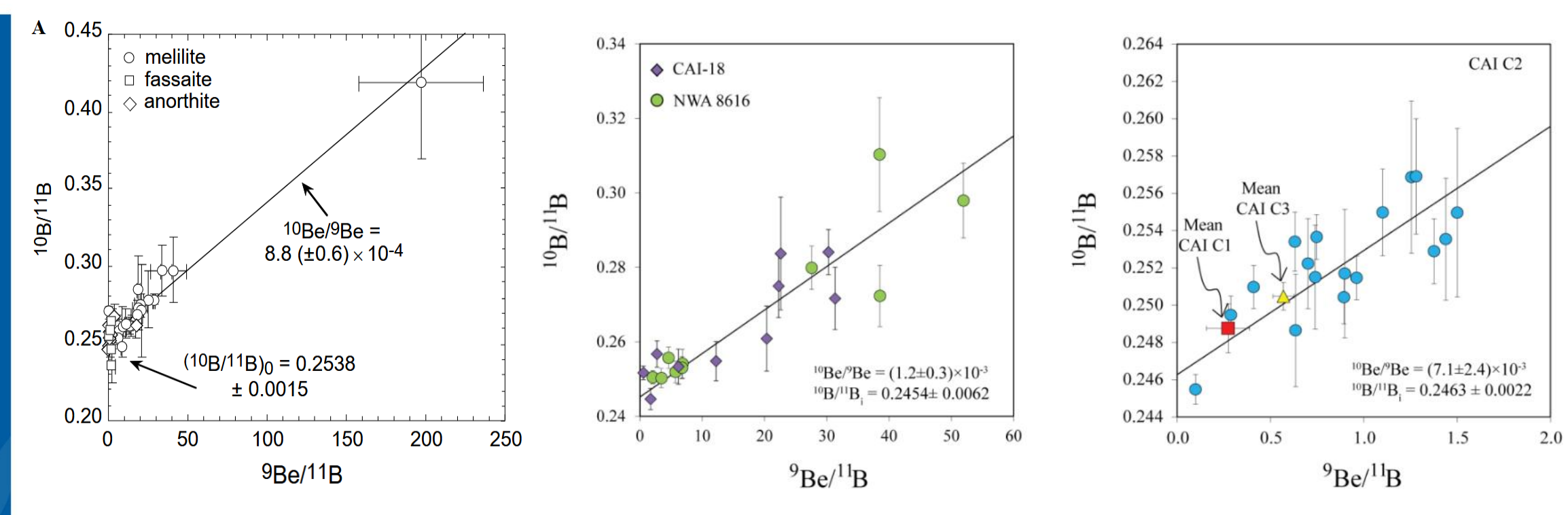


La production de <sup>10</sup>Be par les rayons cosmiques devrait être plus uniforme que celle produite par les éruptions du Soleil jeune, avec <sup>10</sup>Be/<sup>9</sup>Be < 10<sup>-3</sup>

COLLÈGE
DE FRANCE



#### <sup>10</sup>Be/<sup>9</sup>Be dans les CAIs



Chaussidon et al., 2006

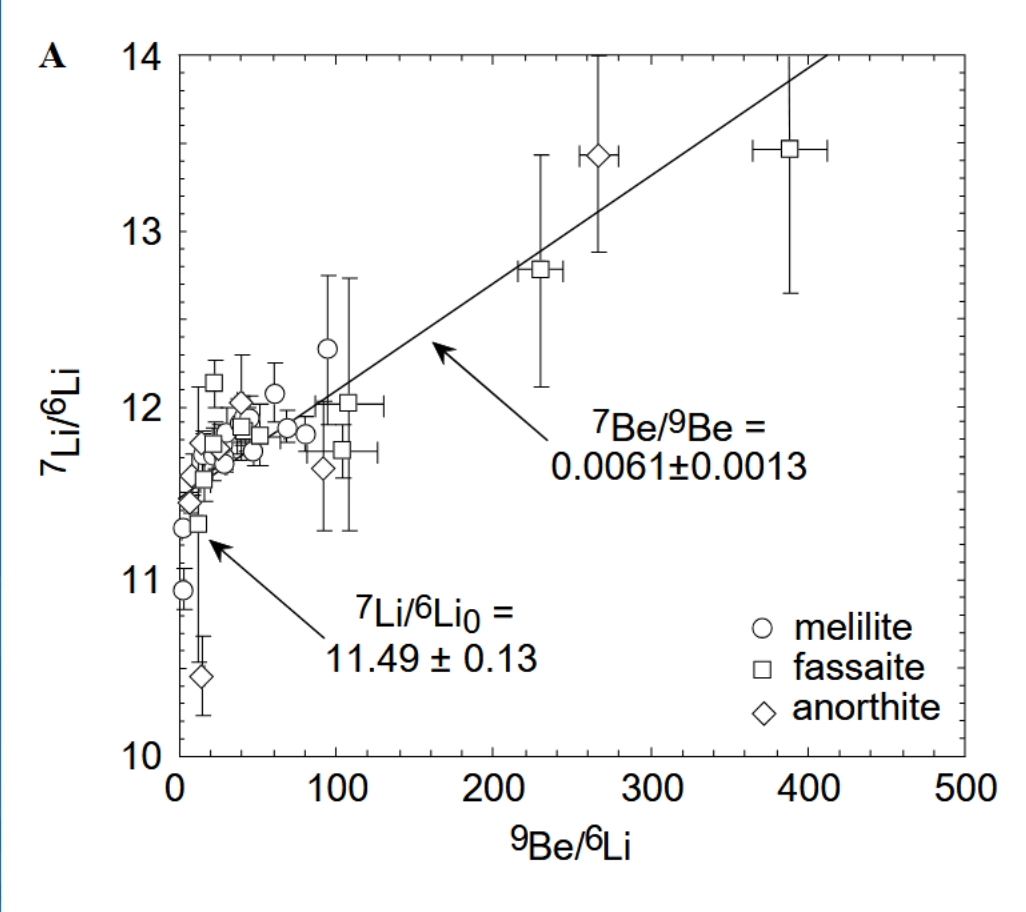
Sossi et al., 2017

Le <sup>10</sup>Be/<sup>9</sup>Be paraît différent de CAI à CAI. Il peut être > 10<sup>-3</sup>. Suggère irradiation par le Soleil Les rapports de <sup>10</sup>Be/<sup>9</sup>Be mesurés impliques une irradiation des CAIs à 0.1-1 UA du Soleil (Jacquet, 2019)





#### <sup>7</sup>Be/<sup>9</sup>Be dans les CAIs



Le <sup>7</sup>Be décroît en <sup>7</sup>Li avec une demi-vie de 53 jours Son existence dans les CAIs démontre leur irradiation directe. Les rayons cosmiques tendent à irradier le nuage protostellaire, pas le disque.

L'existence du <sup>7</sup>Be dans les CAIs est donc une indication forte d'une formation des CAIs près du Soleil

Chaussidon et al., 2006



#### Le paradoxe des CAIs

Ils ont condensé près du Soleil (< 1 UA) mais se trouvent aujourd'hui presque exclusivement dans les chondrites carbonées, qui sont issues de corps parents formés dans la partie externe du disque, là où la glace d'eau était abondante (voir cours N. 2)

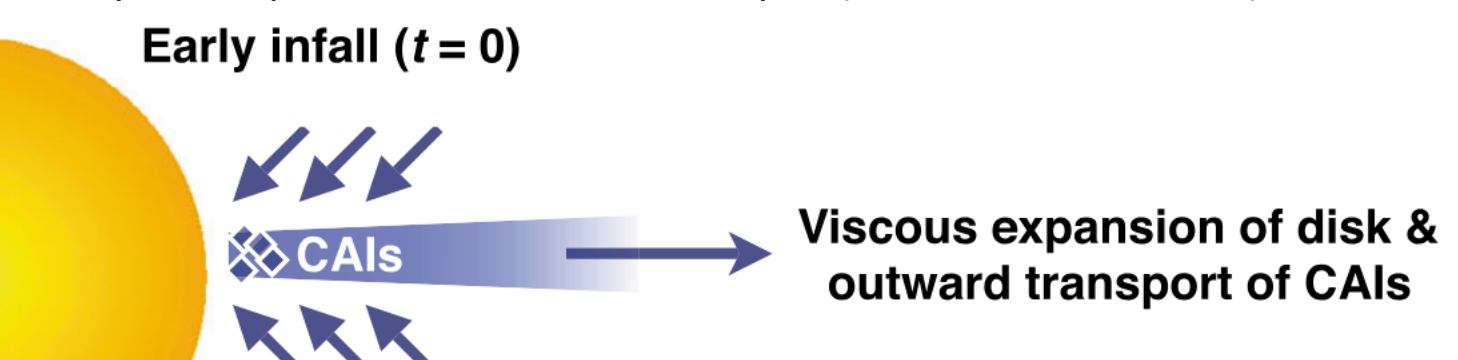






#### Le transport radial des CAIs

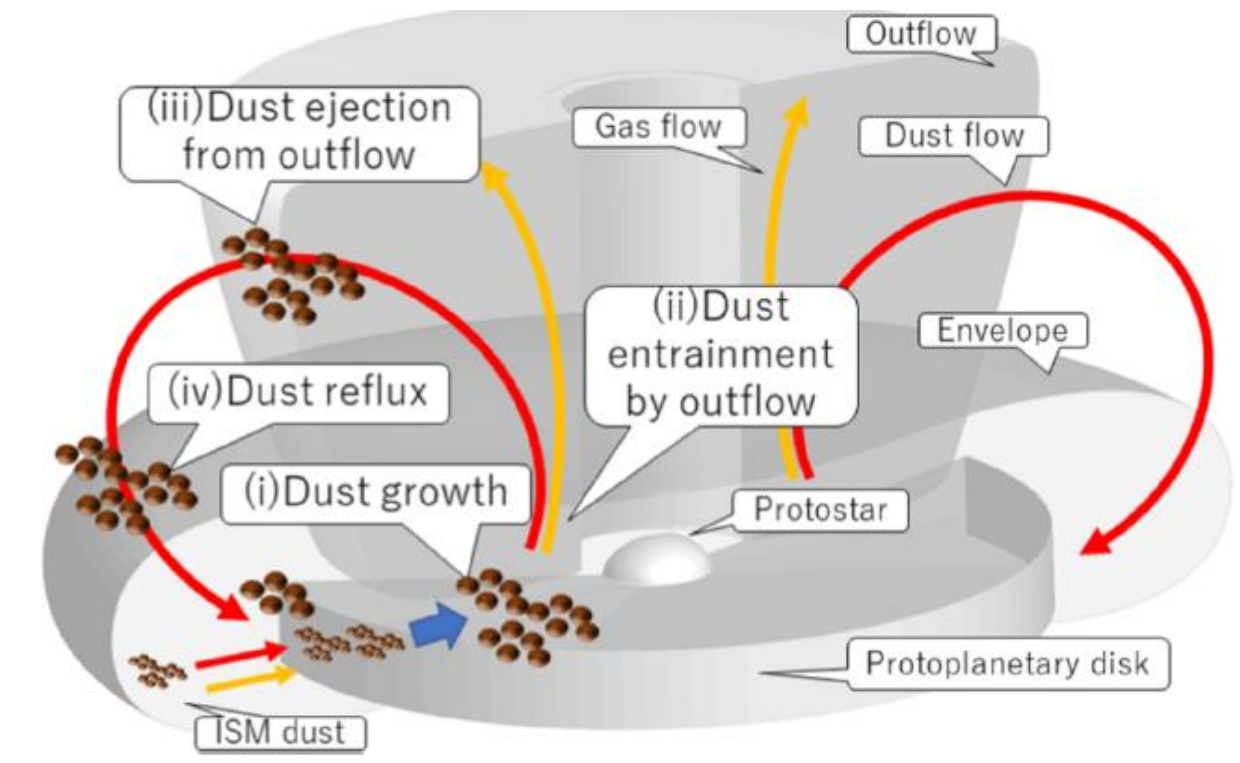
Soit par l'expansion radiale du disque (Nanne et al., 2019)



Infalling matter with CAIlike isotopic composition

Soit par l'ejection dans le jet stellaire (Tsukamoto et al., 2021)

La modélisation de la formation stellaire et de son disque peut aider à comprendre ce paradoxe: séminaire de Adnan Ahmad



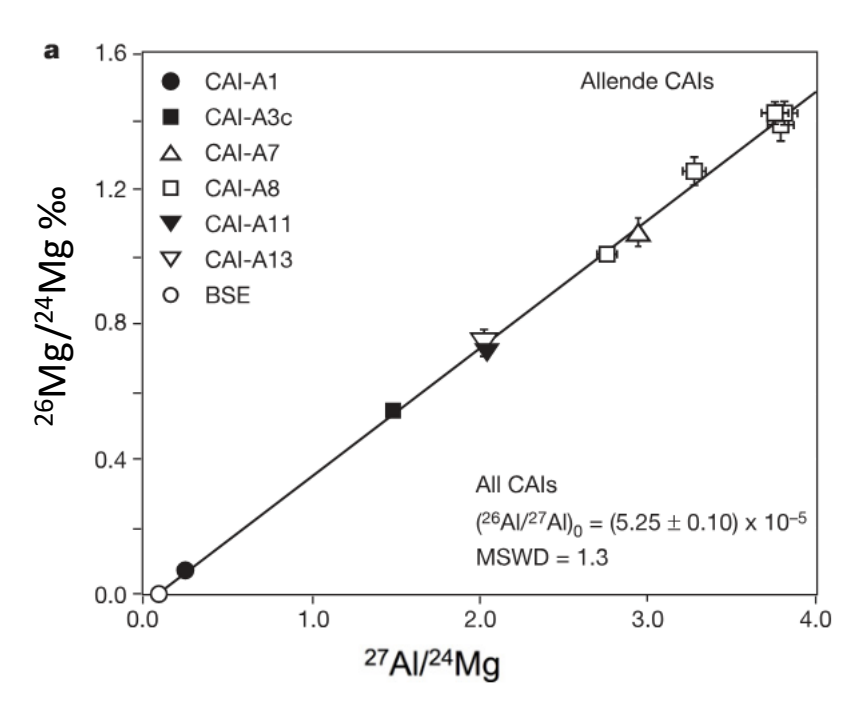
COLLÈGE
DE FRANCE
1530



#### La concentration initiale du <sup>26</sup>Al dans le Système Solaire

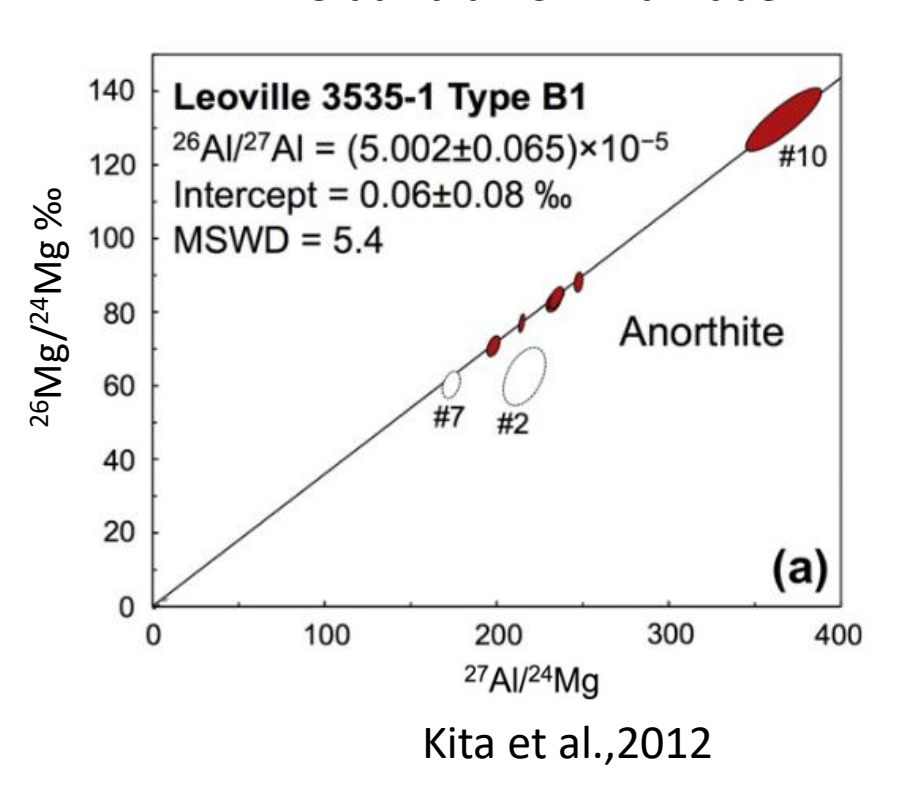
<sup>26</sup>Al décroît en <sup>26</sup>Mg avec une demi-vie de 0,717Ma <sup>27</sup>Al est stable

#### **CAI** entiers



Bizzarro et al.,2004

#### Minéraux d'un CAI individuel



L'existence de <sup>26</sup>Al au début du Système solaire est cruciale pour établir une chronologie fine de la formation des premiers minéraux (voir cours N. 4) et pour l'évolution thermique des planétésimaux (voir cours N. 5)





#### A retenir

- Les CAIs sont les plus vieux solides du Système solaire
- Ils se sont formés par condensation d'un gaz initialement très chaud (T>1800 K) il y a 4,568 Ga
- Ils ont une composition isotopique de l'oxygène très proche de celle solaire. Ils ont donc condensé à partir du gaz qui nourrissait le Soleil en formation
- Ils se sont formés près du Soleil, me se trouvent aujourd'hui dans les chondrites carbonées, qui se sont agrégées loin.
- Les CAIs démontrent l'existence d'un mécanisme de transport des solides depuis le voisinage solaire vers la périphérie du disque
- Lors de leur formation, les CAI contenaient une quantité considérable de <sup>26</sup>AI, avec <sup>26</sup>AI/<sup>27</sup>AI ~5x10<sup>-5</sup>.
   Cette quantité initiale de cet élément radioactif a eu un effet fondamental sur l'évolution thermique des corps.